



Зависимость разности прямых напряжений база — эмиттер транзисторов, входящих в состав микросхем (дифференциальной пары), от температуры окружающей среды при  $\Sigma I_3 = 0,5 \text{ mA}$ ,  $T = +25^\circ \text{ C}$ . Заштрихована область разброса значений параметра для 95% микросхем. Сплошной линией показана типовая зависимость



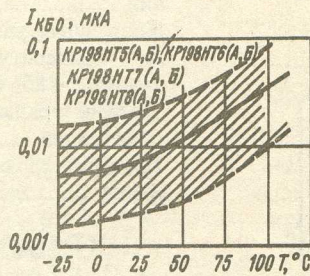
Зависимости коэффициента передачи тока в схеме с общим эмиттером транзисторов, входящих в состав микросхем, от тока эмиттера при  $U_{KB} = 3 \text{ V}$ . Заштрихована область разброса значений параметра для 95% микросхем. Сплошной линией показана типовая зависимость



Зависимости разности статических коэффициентов передачи тока в схеме с общим эмиттером дифференциальной пары транзисторов, входящих в состав микросхем, от температуры окружающей среды



Зависимость статического коэффициента передачи тока в схеме с общим эмиттером транзисторов, входящих в состав микросхем, от температуры окружающей среды



Зависимости обратного тока коллектора транзисторов, входящих в состав микросхем, от температуры окружающей среды. Заштрихована область разброса значений параметра для 95% микросхем. Сплошной линией показана типовая зависимость

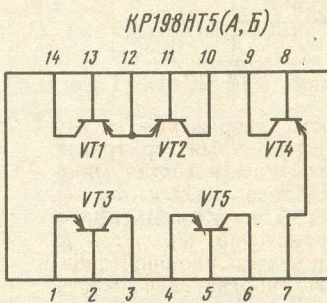


Зависимость напряжения насыщения коллектор — эмиттер транзисторов, входящих в состав микросхемы KP198HT3A, от тока эмиттера. Заштрихована область разброса значений параметров для 95% микросхем. Сплошной линией показана типовая зависимость

### KP198HT5А, KP198HT5Б, KP198HT6А, KP198HT6Б, KP198HT7А, KP198HT7Б, KP198HT8А, KP198HT8Б

Микросхемы представляют собой матрицы  $p-n-p$  транзисторов. Различаются числом транзисторов, входящих в состав матрицы. Микросхемы KP198HT5А, KP198HT5Б содержат 5 транзисторов  $p-n-p$ ; KP198HT6А, KP198HT6Б, KP198HT7А, KP198HT7Б — 4; KP198HT8А, KP198HT8Б — 3.

Корпус типа 201.14-1 (см. KP198HT1 — KP198HT4). Масса не более 1,2 г.



справедливо для  
и 198HT5 А.Б